

Comportement en temps long de dynamiques discrètes à mémoire

Maylis Varvenne

21 Juin 2017



Directeurs de thèse : Laure Coutin & Fabien Panloup

Cadre de travail

Soit $X := (X_n)_{n \geq 0}$ un processus à valeurs dans \mathbb{R}^d tel que

$$X_{n+1} = F(X_n, \Delta_{n+1}) \quad (1.1)$$

où le bruit $(\Delta_n)_{n \in \mathbb{Z}}$ est une suite stationnaire gaussienne ergodique et $F : \mathbb{R}^d \times \mathbb{R}^d \rightarrow \mathbb{R}^d$ est continue.

Cadre de travail

Soit $X := (X_n)_{n \geq 0}$ un processus à valeurs dans \mathbb{R}^d tel que

$$X_{n+1} = F(X_n, \Delta_{n+1}) \quad (1.1)$$

où le bruit $(\Delta_n)_{n \in \mathbb{Z}}$ est une suite stationnaire gaussienne ergodique et $F : \mathbb{R}^d \times \mathbb{R}^d \rightarrow \mathbb{R}^d$ est continue.

Exemple de bruit

Accroissements du mouvement Brownien fractionnaire (mBf) de paramètre de Hurst $H \in (0, 1)$ noté $(B_t^H)_{t \in \mathbb{R}}$.

Le mBf est un processus gaussien centré à accroissements stationnaires tel que pour tout t, s

$$\mathbb{E}[(B_t^H - B_s^H)^2] = |t - s|^{2H}.$$

Représentation en moyenne mobile

Théorème de décomposition de Wold,

$$\forall n \in \mathbb{Z}, \quad \Delta_n = \sum_{k=0}^{+\infty} a_k \xi_{n-k} \quad (1.2)$$

avec

$$\begin{cases} (a_k)_{k \geq 0} \in \mathbb{R}^{\mathbb{N}} \text{ telle que } a_0 \neq 0 \text{ et } \sum_{k=0}^{+\infty} a_k^2 < +\infty \\ (\xi_k)_{k \in \mathbb{Z}} \text{ une suite i.i.d telle que } \xi_1 \sim \mathcal{N}(0, I_d). \end{cases}$$

Représentation en moyenne mobile

Théorème de décomposition de Wold,

$$\forall n \in \mathbb{Z}, \quad \Delta_n = \sum_{k=0}^{+\infty} a_k \xi_{n-k} \quad (1.2)$$

avec

$$\begin{cases} (a_k)_{k \geq 0} \in \mathbb{R}^{\mathbb{N}} \text{ telle que } a_0 \neq 0 \text{ et } \sum_{k=0}^{+\infty} a_k^2 < +\infty \\ (\xi_k)_{k \in \mathbb{Z}} \text{ une suite i.i.d telle que } \xi_1 \sim \mathcal{N}(0, I_d). \end{cases}$$

Remarques

- ▷ Quitte à considérer $\tilde{\Delta}_n = \sum_{k=0}^{+\infty} \tilde{a}_k \xi_{n-k}$ avec $\tilde{a}_k = a_k/a_0$, on peut prendre $a_0 = 1$.

Représentation en moyenne mobile

Théorème de décomposition de Wold,

$$\forall n \in \mathbb{Z}, \quad \Delta_n = \sum_{k=0}^{+\infty} a_k \xi_{n-k} \quad (1.2)$$

avec

$$\begin{cases} (a_k)_{k \geq 0} \in \mathbb{R}^{\mathbb{N}} \text{ telle que } a_0 \neq 0 \text{ et } \sum_{k=0}^{+\infty} a_k^2 < +\infty \\ (\xi_k)_{k \in \mathbb{Z}} \text{ une suite i.i.d telle que } \xi_1 \sim \mathcal{N}(0, I_d). \end{cases}$$

Remarques

- ▷ Quitte à considérer $\tilde{\Delta}_n = \sum_{k=0}^{+\infty} \tilde{a}_k \xi_{n-k}$ avec $\tilde{a}_k = a_k/a_0$, on peut prendre $a_0 = 1$.
- ▷ La mémoire induite par le bruit est quantifiée par la suite $(a_k)_{k \geq 0}$.

Outil : opérateur de type Toeplitz

Définition

Soit \mathbf{T}_a défini sur $\ell_a(\mathbb{Z}^-, \mathbb{R}^d) := \left\{ w \in (\mathbb{R}^d)^{\mathbb{Z}^-} \mid \forall k \geq 0, \sum_{l=0}^{+\infty} a_l w_{-k-l} < +\infty \right\}$ par

$$\forall w \in \ell_a(\mathbb{Z}^-, \mathbb{R}^d), \quad \mathbf{T}_a(w) = \left(\sum_{l=0}^{+\infty} a_l w_{-k-l} \right)_{k \geq 0}. \quad (1.3)$$

Outil : opérateur de type Toeplitz

Définition

Soit \mathbf{T}_a défini sur $\ell_a(\mathbb{Z}^-, \mathbb{R}^d) := \left\{ w \in (\mathbb{R}^d)^{\mathbb{Z}^-} \mid \forall k \geq 0, \sum_{l=0}^{+\infty} a_l w_{-k-l} < +\infty \right\}$ par

$$\forall w \in \ell_a(\mathbb{Z}^-, \mathbb{R}^d), \quad \mathbf{T}_a(w) = \left(\sum_{l=0}^{+\infty} a_l w_{-k-l} \right)_{k \geq 0}. \quad (1.3)$$

Remarque : Cet opérateur relie $(\Delta_n)_{n \in \mathbb{Z}}$ au bruit sous-jacent $(\xi_n)_{n \in \mathbb{Z}}$.

Proposition

Soit \mathbf{T}_b défini sur $\ell_b(\mathbb{Z}^-, \mathbb{R}^d)$ avec la suite $(b_k)_{k \geq 0}$ suivante

$$b_0 = \frac{1}{a_0} \quad \text{and} \quad \forall k \geq 1, \quad b_k = -\frac{1}{a_0} \sum_{l=1}^k a_l b_{k-l}. \quad (1.4)$$

Alors, $\mathbf{T}_b = \mathbf{T}_a^{-1}$.

On pose $\mathcal{X} := \mathbb{R}^d$ l'espace d'état et $\mathcal{W} := (\mathbb{R}^d)^{\mathbb{Z}^-}$ l'espace du bruit.

Idée :

$$(X_n)_{n \in \mathbb{N}} \in \mathcal{X}^{\mathbb{N}} \dashrightarrow (X_n, (\Delta_{n+k})_{k \leq 0})_{n \in \mathbb{N}} \in (\mathcal{X} \times \mathcal{W})^{\mathbb{N}}$$

On pose $\mathcal{X} := \mathbb{R}^d$ l'espace d'état et $\mathcal{W} := (\mathbb{R}^d)^{\mathbb{Z}^-}$ l'espace du bruit.

Idée :

$$(X_n)_{n \in \mathbb{N}} \in \mathcal{X}^{\mathbb{N}} \dashrightarrow (X_n, (\Delta_{n+k})_{k \leq 0})_{n \in \mathbb{N}} \in (\mathcal{X} \times \mathcal{W})^{\mathbb{N}}$$

Système équivalent :

$$(X_{n+1}, (\Delta_{n+1+k})_{k \leq 0}) = \varphi((X_n, (\Delta_{n+k})_{k \leq 0}), \Delta_{n+1}) \quad (1.5)$$

où

$$\begin{aligned} \varphi : (\mathcal{X} \times \mathcal{W}) \times \mathbb{R}^d &\rightarrow \mathcal{X} \times \mathcal{W} \\ ((x, w), \delta) &\mapsto (F(x, \delta), w \sqcup \delta). \end{aligned}$$

Noyau de Transition : Pour toute fonction mesurable $g : \mathcal{X} \times \mathcal{W} \rightarrow \mathbb{R}$, $Q : \mathcal{X} \times \mathcal{W} \rightarrow \mathcal{M}_1(\mathcal{X} \times \mathcal{W})$ est défini par :

$$\int_{\mathcal{W}} g(x', w') Q((x, w), (dx', dw')) = \int_{\mathbb{R}^d} g(F(x, \delta), w \sqcup \delta) \mathcal{P}(w, d\delta).$$

où $\mathcal{P}(w, d\delta) := \mathcal{L}(\Delta_{n+1} | (\Delta_{n+k})_{k \leq 0} = w)$.

Noyau de Transition : Pour toute fonction mesurable $g : \mathcal{X} \times \mathcal{W} \rightarrow \mathbb{R}$, $\mathcal{Q} : \mathcal{X} \times \mathcal{W} \rightarrow \mathcal{M}_1(\mathcal{X} \times \mathcal{W})$ est défini par :

$$\int_{\mathcal{W}} g(x', w') \mathcal{Q}((x, w), (dx', dw')) = \int_{\mathbb{R}^d} g(F(x, \delta), w \sqcup \delta) \mathcal{P}(w, d\delta).$$

où $\mathcal{P}(w, d\delta) := \mathcal{L}(\Delta_{n+1} | (\Delta_{n+k})_{k \leq 0} = w)$.

Définition

On appelle **mesure invariante** associée à (1.1) toute mesure $\mu \in \mathcal{M}_1(\mathcal{X} \times \mathcal{W})$ invariante pour \mathcal{Q} , c'est à dire telle que

$$\mathcal{Q}\mu = \mu.$$

Noyau de Transition : Pour toute fonction mesurable $g : \mathcal{X} \times \mathcal{W} \rightarrow \mathbb{R}$, $Q : \mathcal{X} \times \mathcal{W} \rightarrow \mathcal{M}_1(\mathcal{X} \times \mathcal{W})$ est défini par :

$$\int_{\mathcal{W}} g(x', w') Q((x, w), (dx', dw')) = \int_{\mathbb{R}^d} g(F(x, \delta), w \sqcup \delta) \mathcal{P}(w, d\delta).$$

où $\mathcal{P}(w, d\delta) := \mathcal{L}(\Delta_{n+1} | (\Delta_{n+k})_{k \leq 0} = w)$.

Définition

On appelle **mesure invariante** associée à (1.1) toute mesure $\mu \in \mathcal{M}_1(\mathcal{X} \times \mathcal{W})$ invariante pour Q , c'est à dire telle que

$$Q\mu = \mu.$$

Notion d'unicité : Soit $\mathcal{S} : \mathcal{M}_1(\mathcal{X} \times \mathcal{W}) \rightarrow \mathcal{M}_1(\mathcal{X}^{\mathbb{N}})$ l'application qui à une mesure μ associe $S\mu := \mathcal{L}((X_n^\mu)_{n \geq 0})$. Alors

$$\mu \simeq \nu \iff S\mu = S\nu \quad (\star)$$

(\mathbf{H}_{poly}) : Les conditions suivantes sont vérifiées,

- il existe $\rho, \beta > 0$ et $C_\rho, C_\beta > 0$ tels que

$$\forall k \geq 0, |a_k| \leq C_\rho (k+1)^{-\rho} \quad \text{et} \quad \forall k \geq 0, |b_k| \leq C_\beta (k+1)^{-\beta}.$$

- il existe $\kappa \geq \rho + 1$ et $C_\kappa > 0$ tels que

$$\forall k \geq 0, |a_k - a_{k+1}| \leq C_\kappa (k+1)^{-\kappa}.$$

(\mathbf{H}_{poly}) : Les conditions suivantes sont vérifiées,

- il existe $\rho, \beta > 0$ et $C_\rho, C_\beta > 0$ tels que

$$\forall k \geq 0, |a_k| \leq C_\rho (k+1)^{-\rho} \quad \text{et} \quad \forall k \geq 0, |b_k| \leq C_\beta (k+1)^{-\beta}.$$

- il existe $\kappa \geq \rho + 1$ et $C_\kappa > 0$ tels que

$$\forall k \geq 0, |a_k - a_{k+1}| \leq C_\kappa (k+1)^{-\kappa}.$$

Remarques

- ▷ L'hypothèse sur la dérivée discrète de $(a_k)_{k \geq 0}$ est due à la preuve par couplage.

(\mathbf{H}_{poly}) : Les conditions suivantes sont vérifiées,

- il existe $\rho, \beta > 0$ et $C_\rho, C_\beta > 0$ tels que

$$\forall k \geq 0, |a_k| \leq C_\rho (k+1)^{-\rho} \quad \text{et} \quad \forall k \geq 0, |b_k| \leq C_\beta (k+1)^{-\beta}.$$

- il existe $\kappa \geq \rho + 1$ et $C_\kappa > 0$ tels que

$$\forall k \geq 0, |a_k - a_{k+1}| \leq C_\kappa (k+1)^{-\kappa}.$$

Remarques

- ▷ L'hypothèse sur la dérivée discrète de $(a_k)_{k \geq 0}$ est due à la preuve par couplage.
- ▷ Même si $(a_k)_{k \geq 0}$ et $(b_k)_{k \geq 0}$ sont reliées par (1.4), il n'y a pas de règle générale qui connecte ρ et β .

(H₁) : Il existe $V : \mathbb{R}^d \rightarrow \mathbb{R}_+^*$ continue telle que $\lim_{|x| \rightarrow +\infty} V(x) = +\infty$ et $\exists \gamma \in (0, 1)$ et $C > 0$ tel que

$$\forall (x, w) \in \mathbb{R}^d \times \mathbb{R}^d, \quad V(F(x, w)) \leq \gamma V(x) + C(1 + |w|).$$

(H₁) : Il existe $V : \mathbb{R}^d \rightarrow \mathbb{R}_+^*$ continue telle que $\lim_{|x| \rightarrow +\infty} V(x) = +\infty$ et $\exists \gamma \in (0, 1)$ et $C > 0$ tel que

$$\forall (x, w) \in \mathbb{R}^d \times \mathbb{R}^d, \quad V(F(x, w)) \leq \gamma V(x) + C(1 + |w|).$$

(H₂) : "Hypothèse de contrôle nécessaire pour la première étape du couplage"

Exemple : Schéma d'Euler de pas $h > 0$

$$F_h : \mathbb{R}^d \times \mathbb{R}^d \rightarrow \mathbb{R}^d$$

$$(x, w) \mapsto x + hb(x) + \sigma(x)w. \quad (2.1)$$

où $b : \mathbb{R}^d \rightarrow \mathbb{R}^d$ est continue, $\sigma : \mathbb{R}^d \rightarrow \mathcal{M}_d(\mathbb{R})$ est continue bornée et $\sigma^{-1} : x \mapsto \sigma(x)^{-1}$ est définie et continue.

(L1) $\exists C > 0$ telle que $\forall x \in \mathcal{X}$, $|b(x)| \leq C(1 + |x|)$

(L2) $\exists \tilde{\beta} \in \mathbb{R}$ et $\tilde{\alpha} > 0$ tels que $\forall x \in \mathcal{X}$, $\langle x, b(x) \rangle \leq \tilde{\beta} - \tilde{\alpha}|x|^2$.

Proposition

Pour $h > 0$ suffisamment petit, F_h vérifie les hypothèses **(H₁)** et **(H₂)** avec $V(x) = |x|$.

Théorème

On suppose (\mathbf{H}_1) et (\mathbf{H}_2) . Alors,

- (i) Il existe une mesure invariante μ_* associée à (1.1).
- (ii) On suppose $(\mathbf{H}_{\text{poly}})$ avec $\rho, \beta > 1/2$ et $\rho + \beta > 3/2$. Alors, μ_* est unique. De plus, pour toute condition initiale μ_0 telle que $\int_{\mathcal{X}} V(x) \Pi_{\mathcal{X}}^* \mu_0(dx) < +\infty$ et pour tout $\varepsilon > 0$, il existe $C_\varepsilon > 0$ telle que

$$\|\mathcal{L}((X_{n+k}^{\mu_0})_{k \geq 0}) - \mathcal{S}\mu_*\|_{TV} \leq C_\varepsilon n^{-(v(\beta, \rho) - \varepsilon)}.$$

où la fonction v est définie par

$$v(\beta, \rho) = \sup_{\alpha \in (\frac{1}{2}v(\frac{3}{2} - \beta), \rho)} \min\{1, 2(\rho - \alpha)\}(\min\{\alpha, \beta, \alpha + \beta - 1\} - 1/2).$$

Soit $H \in (0, 1)$. On parlera de **suite de type fractionnaire** lorsque

$$\forall k \geq 0, \quad |a_k| \leq C_\rho (k+1)^{-\rho} \quad \text{and} \quad |a_k - a_{k+1}| \leq C'_\rho (k+1)^{-(\rho+1)} \quad (2.2)$$

avec $\rho = 3/2 - H$.

Soit $H \in (0, 1)$. On parlera de **suite de type fractionnaire** lorsque

$$\forall k \geq 0, \quad |a_k| \leq C_\rho (k+1)^{-\rho} \quad \text{and} \quad |a_k - a_{k+1}| \leq C'_\rho (k+1)^{-(\rho+1)} \quad (2.2)$$

avec $\rho = 3/2 - H$.

Exemple 1

Lorsque $(\Delta_n)_{n \in \mathbb{Z}} = (B_{nh}^H - B_{(n-1)h}^H)_{n \in \mathbb{Z}}$ (avec $h > 0$) on a

$$a_k^H \sim C_{h,H} (k+1)^{-(3/2-H)} \quad \text{et} \quad |a_k^H - a_{k+1}^H| \leq C'_{h,H} (k+1)^{-(5/2-H)}.$$

Soit $H \in (0, 1)$. On parlera de **suite de type fractionnaire** lorsque

$$\forall k \geq 0, \quad |a_k| \leq C_\rho (k+1)^{-\rho} \quad \text{and} \quad |a_k - a_{k+1}| \leq C'_\rho (k+1)^{-(\rho+1)} \quad (2.2)$$

avec $\rho = 3/2 - H$.

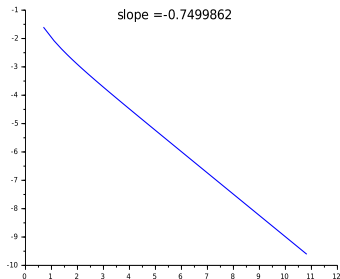
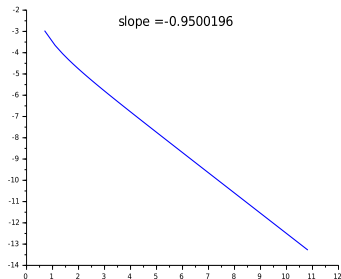
Exemple 1

Lorsque $(\Delta_n)_{n \in \mathbb{Z}} = (B_{nh}^H - B_{(n-1)h}^H)_{n \in \mathbb{Z}}$ (avec $h > 0$) on a

$$a_k^H \sim C_{h,H} (k+1)^{-(3/2-H)} \quad \text{et} \quad |a_k^H - a_{k+1}^H| \leq C'_{h,H} (k+1)^{-(5/2-H)}.$$

Pour $H \in (0, 1/2)$:

$$\forall k \geq 0, \quad |b_k^H| \leq C''_{h,H} (k+1)^{-(H+1/2)}. \quad (2.3)$$

(a) $H = 0.25$ (b) $H = 0.45$ FIGURE – $(\log |b_k^H|)$ en fonction de $(\log(k + 1))$.

Vitesse de convergence à l'équilibre en $n^{-\nu_H}$ avec

$$\nu_H = \begin{cases} H(1 - 2H) & \text{si } H \in (0, 1/4] \\ 1/8 & \text{si } H \in (1/4, 1/2) \end{cases}$$

Exemple 2

$$a_k = (k + 1)^{-\rho} \text{ avec } \rho = 3/2 - H.$$

Alors

$$|b_k| \leq (k + 1)^{-\rho}$$

Donc pour $2\rho > 3/2 \Leftrightarrow H < 3/4$, on obtient une vitesse en $n^{-v'_H}$ avec

$$v'_H = (1 - H)^2/2.$$

Conclusion : $v'_H > v_H$ lorsque $H \in (0, 1/2)$

Exemple 2

$$a_k = (k + 1)^{-\rho} \text{ avec } \rho = 3/2 - H.$$

Alors

$$|b_k| \leq (k + 1)^{-\rho}$$

Donc pour $2\rho > 3/2 \Leftrightarrow H < 3/4$, on obtient une vitesse en $n^{-v'_H}$ avec

$$v'_H = (1 - H)^2/2.$$

Conclusion : $v'_H > v_H$ lorsque $H \in (0, 1/2)$

\Rightarrow variations de $(a_k)_{k \in \mathbb{N}}$ influencent le comportement asymptotique de $(b_k)_{k \in \mathbb{N}}$
donc la vitesse de convergence !

Références (cadre continu) : Hairer (2005) - Fontbona & Panloup (2014) - Deya, Panloup & Tindel (2016)

Références (cadre continu) : Hairer (2005) - Fontbona & Panloup (2014) - Deya, Panloup & Tindel (2016)

Principe (cadre discret) : On considère (X^1, X^2) solution du système :

$$\begin{cases} X_{n+1}^1 = F(X_n^1, \Delta_{n+1}^1) \\ X_{n+1}^2 = F(X_n^2, \Delta_{n+1}^2) \end{cases} \quad (3.1)$$

avec pour conditions initiales $(X_0^1, (\Delta_k^1)_{k \leq 0}) \sim \mu_0$ et $(X_0^2, (\Delta_k^2)_{k \leq 0}) \sim \mu_*$.

Références (cadre continu) : Hairer (2005) - Fontbona & Panloup (2014) - Deya, Panloup & Tindel (2016)

Principe (cadre discret) : On considère (X^1, X^2) solution du système :

$$\begin{cases} X_{n+1}^1 = F(X_n^1, \Delta_{n+1}^1) \\ X_{n+1}^2 = F(X_n^2, \Delta_{n+1}^2) \end{cases} \quad (3.1)$$

avec pour conditions initiales $(X_0^1, (\Delta_k^1)_{k \leq 0}) \sim \mu_0$ et $(X_0^2, (\Delta_k^2)_{k \leq 0}) \sim \mu_*$.

Soit

$$\tau_\infty = \inf\{n \geq 0 \mid X_k^1 = X_k^2, \forall k \geq n\}.$$

Il faut majorer $\mathbb{P}(\tau_\infty > n)$ ce qui donnera une borne de la vitesse de convergence vers la mesure invariante car

$$\|\mathcal{L}((X_{n+k}^1)_{k \geq 0}) - \mathcal{S}\mu_*\|_{TV} \leq \mathbb{P}(\tau_\infty > n).$$

Références (cadre continu) : Hairer (2005) - Fontbona & Panloup (2014) - Deya, Panloup & Tindel (2016)

Principe (cadre discret) : On considère (X^1, X^2) solution du système :

$$\begin{cases} X_{n+1}^1 = F(X_n^1, \Delta_{n+1}^1) \\ X_{n+1}^2 = F(X_n^2, \Delta_{n+1}^2) \end{cases} \quad (3.1)$$

avec pour conditions initiales $(X_0^1, (\Delta_k^1)_{k \leq 0}) \sim \mu_0$ et $(X_0^2, (\Delta_k^2)_{k \leq 0}) \sim \mu_*$.

Soit

$$\tau_\infty = \inf\{n \geq 0 \mid X_k^1 = X_k^2, \forall k \geq n\}.$$

Il faut majorer $\mathbb{P}(\tau_\infty > n)$ ce qui donnera une borne de la vitesse de convergence vers la mesure invariante car

$$\|\mathcal{L}((X_{n+k}^1)_{k \geq 0}) - \mathcal{S}\mu_*\|_{TV} \leq \mathbb{P}(\tau_\infty > n).$$

On choisit

$$(\Delta_k^1)_{k \leq 0} = (\Delta_k^2)_{k \leq 0} \quad \Leftrightarrow \quad (\xi_k^1)_{k \leq 0} = (\xi_k^2)_{k \leq 0}.$$

Références (cadre continu) : Hairer (2005) - Fontbona & Panloup (2014) - Deya, Panloup & Tindel (2016)

Principe (cadre discret) : On considère (X^1, X^2) solution du système :

$$\begin{cases} X_{n+1}^1 = F(X_n^1, \Delta_{n+1}^1) \\ X_{n+1}^2 = F(X_n^2, \Delta_{n+1}^2) \end{cases} \quad (3.1)$$

avec pour conditions initiales $(X_0^1, (\Delta_k^1)_{k \leq 0}) \sim \mu_0$ et $(X_0^2, (\Delta_k^2)_{k \leq 0}) \sim \mu_*$.

Soit

$$\tau_\infty = \inf\{n \geq 0 \mid X_k^1 = X_k^2, \forall k \geq n\}.$$

Il faut majorer $\mathbb{P}(\tau_\infty > n)$ ce qui donnera une borne de la vitesse de convergence vers la mesure invariante car

$$\|\mathcal{L}((X_{n+k}^1)_{k \geq 0}) - \mathcal{S}\mu_*\|_{TV} \leq \mathbb{P}(\tau_\infty > n).$$

On choisit

$$(\Delta_k^1)_{k \leq 0} = (\Delta_k^2)_{k \leq 0} \quad \Leftrightarrow \quad (\xi_k^1)_{k \leq 0} = (\xi_k^2)_{k \leq 0}.$$

On définit la suite de v.a $(g_n)_{n \in \mathbb{Z}}$ par

$$\forall n \in \mathbb{Z}, \quad \xi_{n+1}^1 = \xi_{n+1}^2 + g_n$$

Références (cadre continu) : Hairer (2005) - Fontbona & Panloup (2014) - Deya, Panloup & Tindel (2016)

Principe (cadre discret) : On considère (X^1, X^2) solution du système :

$$\begin{cases} X_{n+1}^1 = F(X_n^1, \Delta_{n+1}^1) \\ X_{n+1}^2 = F(X_n^2, \Delta_{n+1}^2) \end{cases} \quad (3.1)$$

avec pour conditions initiales $(X_0^1, (\Delta_k^1)_{k \leq 0}) \sim \mu_0$ et $(X_0^2, (\Delta_k^2)_{k \leq 0}) \sim \mu_*$.

Soit

$$\tau_\infty = \inf\{n \geq 0 \mid X_k^1 = X_k^2, \forall k \geq n\}.$$

Il faut majorer $\mathbb{P}(\tau_\infty > n)$ ce qui donnera une borne de la vitesse de convergence vers la mesure invariante car

$$\|\mathcal{L}((X_{n+k}^1)_{k \geq 0}) - \mathcal{S}\mu_*\|_{TV} \leq \mathbb{P}(\tau_\infty > n).$$

On choisit

$$(\Delta_k^1)_{k \leq 0} = (\Delta_k^2)_{k \leq 0} \quad \Leftrightarrow \quad (\xi_k^1)_{k \leq 0} = (\xi_k^2)_{k \leq 0}.$$

On définit la suite de v.a $(g_n)_{n \in \mathbb{Z}}$ par

$$\forall n \in \mathbb{Z}, \quad \xi_{n+1}^1 = \xi_{n+1}^2 + g_n \quad \text{donc} \quad g_n = 0 \quad \forall n < 0.$$

Étapes du couplage

- ▶ **Étape 1** : Essayer de coller les trajectoires en “contrôlant le coût”.

Étapes du couplage

- ▷ **Étape 1** : Essayer de coller les trajectoires en “contrôlant le coût”.
- ▷ **Étape 2** : Essayer de maintenir les trajectoires collées (spécifique au cadre non markovien).

Étapes du couplage

- ▷ **Étape 1** : Essayer de coller les trajectoires en “contrôlant le coût”.
- ▷ **Étape 2** : Essayer de maintenir les trajectoires collées (spécifique au cadre non markovien).
- ▷ **Étape 3** : Si l'étape 2 échoue, on attend suffisamment longtemps de manière à ce que l'étape 1 puisse être réalisée avec un coût contrôlé et une probabilité strictement positive. Tout au long de cette étape, on impose $g_n = 0$.

Définition (Admissibilité)

Soit $K > 0$, $\alpha > 0$ et τ une v.a. à valeurs dans \mathbb{N} . Le système est dit (K, α) -admissible à l'instant τ si $\tau(\omega) < +\infty$ et si $(X_\tau^1(\omega), X_\tau^2(\omega), (\xi_n^1(\omega), \xi_n^2(\omega))_{n \leq \tau})$ satisfait

$$\forall n \geq 0, \left| \sum_{k=n+1}^{+\infty} a_k g_{\tau+n-k}(\omega) \right| \leq (n+1)^{-\alpha} \quad (3.2)$$

$$\text{et } |X_\tau^i(\omega)| \leq K, \quad \left| \sum_{k=1}^{+\infty} a_k \xi_{\tau+1-k}^i(\omega) \right| \leq K \quad \text{pour } i = 1, 2 \quad (3.3)$$

Définition (Admissibilité)

Soit $K > 0$, $\alpha > 0$ et τ une v.a. à valeurs dans \mathbb{N} . Le système est dit (K, α) -admissible à l'instant τ si $\tau(\omega) < +\infty$ et si $(X_\tau^1(\omega), X_\tau^2(\omega), (\xi_n^1(\omega), \xi_n^2(\omega))_{n \leq \tau})$ satisfait

$$\forall n \geq 0, \left| \sum_{k=n+1}^{+\infty} a_k g_{\tau+n-k}(\omega) \right| \leq (n+1)^{-\alpha} \quad (3.2)$$

$$\text{et } |X_\tau^i(\omega)| \leq K, \quad \left| \sum_{k=1}^{+\infty} a_k \xi_{\tau+1-k}^i(\omega) \right| \leq K \quad \text{pour } i = 1, 2 \quad (3.3)$$

$$\Omega_{\alpha, \tau}^1 = \{\omega \text{ satisfaisant (3.2)}\} \quad \text{et} \quad \Omega_{K, \tau}^2 = \{\omega \text{ satisfaisant (3.3)}\}$$

$$\Omega_{K, \alpha, \tau} = \Omega_{\alpha, \tau}^1 \cap \Omega_{K, \tau}^2. \quad (3.4)$$

Notations : Soit $j \geq 1$. On pose

- ▷ τ_j : fin de l'étape 3 de la j -ième tentative.
- ▷ Intervalles

$$I_{j,0} := \{\tau_{j-1} + 1\}, \quad I_{j,1} := \llbracket \tau_{j-1} + 2, \tau_{j-1} + 2c_2 - 1 \rrbracket$$

et $\forall \ell \geq 2, \quad I_{j,\ell} := \llbracket \tau_{j-1} + c_2 2^\ell, \tau_{j-1} + c_2 2^{\ell+1} - 1 \rrbracket$

- ▷ $\ell_j^* \geq 0$ tel que $I_{j,\ell_j^*} =$ "intervalle échec".
- ▷ $\Delta t_3^{(j)}$: durée de l'étape 3 de la tentative j .

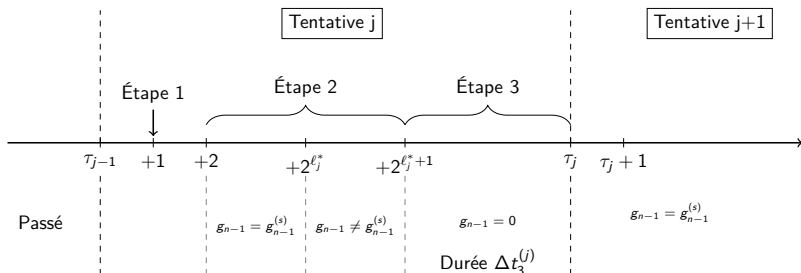
Notations : Soit $j \geq 1$. On pose

- ▷ τ_j : fin de l'étape 3 de la j -ième tentative.
- ▷ Intervalles

$$I_{j,0} := \{\tau_{j-1} + 1\}, \quad I_{j,1} := \llbracket \tau_{j-1} + 2, \tau_{j-1} + 2c_2 - 1 \rrbracket$$

$$\text{et } \forall \ell \geq 2, \quad I_{j,\ell} := \llbracket \tau_{j-1} + c_2 2^\ell, \tau_{j-1} + c_2 2^{\ell+1} - 1 \rrbracket$$

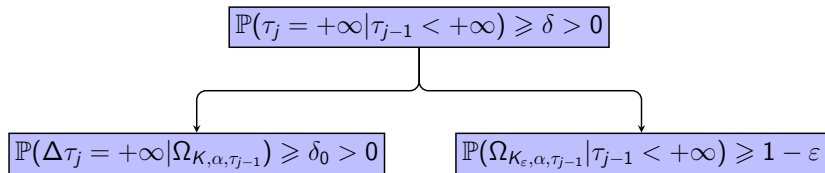
- ▷ $\ell_j^* \geq 0$ tel que $I_{j,\ell_j^*} =$ "intervalle échec".
- ▷ $\Delta t_3^{(j)}$: durée de l'étape 3 de la tentative j .



Borne inférieure sur la probabilité de réussite du couplage

$$\mathbb{P}(\tau_j = +\infty | \tau_{j-1} < +\infty) \geq \delta > 0$$

Borne inférieure sur la probabilité de réussite du couplage



Étape 2

Maintien des trajectoires collées : $X_{k+1}^1 = X_{k+1}^2 \quad \forall k \geq n+1$, i.e.

$$\forall k \geq n+1, \quad F \left(X_k^1, \xi_{k+1}^1 + \sum_{l=1}^{+\infty} a_l \xi_{k+1-l}^1 \right) = F \left(X_k^1, \xi_{k+1}^2 + \sum_{l=1}^{+\infty} a_l \xi_{k+1-l}^2 \right)$$

$$\text{plutôt } \forall k \geq n+1, \quad g_k = - \sum_{l=1}^{+\infty} a_l g_{k-l}$$

Étape 2

Maintien des trajectoires collées : $X_{k+1}^1 = X_{k+1}^2 \quad \forall k \geq n+1$, i.e.

$$\forall k \geq n+1, \quad F \left(X_k^1, \xi_{k+1}^1 + \sum_{l=1}^{+\infty} a_l \xi_{k+1-l}^1 \right) = F \left(X_k^1, \xi_{k+1}^2 + \sum_{l=1}^{+\infty} a_l \xi_{k+1-l}^2 \right)$$

$$\text{plutôt } \forall k \geq n+1, \quad g_k = - \sum_{l=1}^{+\infty} a_l g_{k-l}$$

Lemme 2 (inspiré de version continue M.Hairer)

Soit $T > 0$, $b > 0$, $g^{(s)} = (g_0^{(s)}, g_1^{(s)}, \dots, g_T^{(s)}) \in \mathbb{R}^{T+1}$ tel que $\|g^{(s)}\| \leq b$.

- (i) Alors, il existe $\delta_b^1 \in (0, 1)$ et $((\xi_{k+1}^1)_{k \in \llbracket 0, T \rrbracket}, (\xi_{k+1}^2)_{k \in \llbracket 0, T \rrbracket})$ de loi $\mathcal{N}(0, I_{T+1})$ tels que pour $M_b := \max(4b, -2 \log(b/8))$

$$\mathbb{P} \left(\xi_{k+1}^1 = \xi_{k+1}^2 + g_k^{(s)} \quad \forall k \in \llbracket 0, T \rrbracket \right) \geq \delta_b^1 \quad \text{et} \quad \mathbb{P} \left(\|\xi^1 - \xi^2\| \leq M_b \right) = 1.$$

- (ii) Si $b \in (0, 1)$, l'assertion précédente est vraie pour $\delta_b^1 = 1 - b$.

Étape 2

$$\mathcal{B}_{j,\ell} := \Omega_{K,\alpha,\tau_{j-1}} \cap \{\ell_j^* > \ell\}$$

alors

$$\mathbb{P}(\Delta\tau_j = +\infty | \Omega_{K,\alpha,\tau_{j-1}}) = \mathbb{P}(\text{succès de l'étape 1} | \Omega_{K,\alpha,\tau_{j-1}}) \prod_{\ell=1}^{+\infty} \mathbb{P}(\mathcal{B}_{j,\ell} | \mathcal{B}_{j,\ell-1})$$

On applique le lemme 2 sur les intervalle $I_{j,\ell}$ en utilisant le fait que si $\alpha > \frac{1}{2} \vee (\frac{3}{2} - \beta)$

$$\|g^{(s)}\|_{I_{j,\ell}} \leq 2^{-\tilde{\alpha}\ell} \quad \text{avec} \quad \tilde{\alpha} = \min\{\alpha, \beta, \alpha + \beta - 1\} - 1/2.$$

Étape 2

$$\mathcal{B}_{j,\ell} := \Omega_{K,\alpha,\tau_{j-1}} \cap \{\ell_j^* > \ell\}$$

alors

$$\mathbb{P}(\Delta\tau_j = +\infty | \Omega_{K,\alpha,\tau_{j-1}}) = \mathbb{P}(\text{succès de l'étape 1} | \Omega_{K,\alpha,\tau_{j-1}}) \prod_{\ell=1}^{+\infty} \mathbb{P}(\mathcal{B}_{j,\ell} | \mathcal{B}_{j,\ell-1})$$

On applique le lemme 2 sur les intervalle $I_{j,\ell}$ en utilisant le fait que si $\alpha > \frac{1}{2} \vee (\frac{3}{2} - \beta)$

$$\|g^{(s)}\|_{I_{j,\ell}} \leq 2^{-\tilde{\alpha}\ell} \quad \text{avec} \quad \tilde{\alpha} = \min\{\alpha, \beta, \alpha + \beta - 1\} - 1/2.$$

- $\mathbb{P}(\mathcal{B}_{j,\ell} | \mathcal{B}_{j,\ell-1}) \geq 1 - 2^{-\tilde{\alpha}\ell}.$

Étape 2

$$\mathcal{B}_{j,\ell} := \Omega_{K,\alpha,\tau_{j-1}} \cap \{\ell_j^* > \ell\}$$

alors

$$\mathbb{P}(\Delta\tau_j = +\infty | \Omega_{K,\alpha,\tau_{j-1}}) = \mathbb{P}(\text{succès de l'étape 1} | \Omega_{K,\alpha,\tau_{j-1}}) \prod_{\ell=1}^{+\infty} \mathbb{P}(\mathcal{B}_{j,\ell} | \mathcal{B}_{j,\ell-1})$$

On applique le lemme 2 sur les intervalle $I_{j,\ell}$ en utilisant le fait que si $\alpha > \frac{1}{2} \vee (\frac{3}{2} - \beta)$

$$\|g^{(s)}\|_{I_{j,\ell}} \leq 2^{-\tilde{\alpha}\ell} \quad \text{avec} \quad \tilde{\alpha} = \min\{\alpha, \beta, \alpha + \beta - 1\} - 1/2.$$

- $\mathbb{P}(\mathcal{B}_{j,\ell} | \mathcal{B}_{j,\ell-1}) \geq 1 - 2^{-\tilde{\alpha}\ell}.$
- $\|g\|_{I_{j,\ell_j^*}} \leq C_\alpha(\ell_j^* + 1) \quad \text{p.s.}$

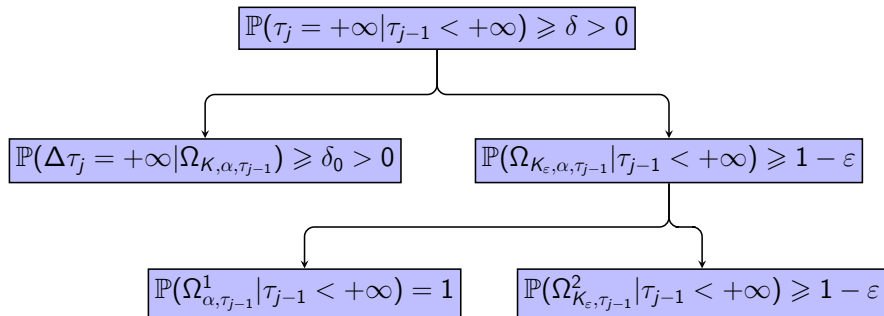
Borne inférieure sur la probabilité de réussite du couplage

$$\mathbb{P}(\tau_j = +\infty | \tau_{j-1} < +\infty) \geq \delta > 0$$

$$\mathbb{P}(\Delta\tau_j = +\infty | \Omega_{K,\alpha,\tau_{j-1}}) \geq \delta_0 > 0$$

$$\mathbb{P}(\Omega_{K_\varepsilon,\alpha,\tau_{j-1}} | \tau_{j-1} < +\infty) \geq 1 - \varepsilon$$

Borne inférieure sur la probabilité de réussite du couplage



Étape 3

Proposition (Calibrage durée étape 3)

On suppose (\mathbf{H}_1) et (\mathbf{H}_2) . Soit $\alpha \in (\frac{1}{2} \vee (\frac{3}{2} - \beta), \rho)$. Supposons que pour tout $j \geq 1$,

$$\Delta t_3^{(j)} = t_* \varsigma^j 2^{\theta \ell_j^*} \text{ avec } \theta > (2(\rho - \alpha))^{-1}$$

avec $\varsigma > 1$ arbitraire. Alors pour tout $K > 0$, il existe un choix de t_* tel que, pour tout $j \geq 0$,

$$\mathbb{P}(\Omega_{\alpha, \tau_j}^1 | \{\tau_j < +\infty\}) = 1.$$

Rappel : $\Omega_{\alpha, \tau_j}^1$ correspond à

$$\forall n \geq 0, \left| \sum_{k=n+1}^{+\infty} a_k g_{\tau_j+n-k} \right| \leq (n+1)^{-\alpha}$$

Proposition (Retour compact)

On suppose (\mathbf{H}_1) , (\mathbf{H}_2) et $(\mathbf{H}_{\text{poly}})$. Pour tout $\varepsilon > 0$, il existe $K_\varepsilon > 0$ tel que

$$\mathbb{P}(\Omega_{K_\varepsilon, \tau_j}^2 | \{\tau_j < +\infty\}) \geq 1 - \varepsilon. \quad (3.5)$$

Conclusion : pour tout $\varepsilon > 0$, il existe $K_\varepsilon > 0$ tel que

$$\mathbb{P}(\Omega_{K_\varepsilon, \alpha, \tau_j} | \{\tau_j < +\infty\}) \geq 1 - \varepsilon.$$

Proposition (Retour compact)

On suppose (\mathbf{H}_1) , (\mathbf{H}_2) et $(\mathbf{H}_{\text{poly}})$. Pour tout $\varepsilon > 0$, il existe $K_\varepsilon > 0$ tel que

$$\mathbb{P}(\Omega_{K_\varepsilon, \tau_j}^2 | \{\tau_j < +\infty\}) \geq 1 - \varepsilon. \quad (3.5)$$

Conclusion : pour tout $\varepsilon > 0$, il existe $K_\varepsilon > 0$ tel que

$$\mathbb{P}(\Omega_{K_\varepsilon, \alpha, \tau_j} | \{\tau_j < +\infty\}) \geq 1 - \varepsilon.$$

Finalement, en appliquant en $j - 1$ et en prenant (par exemple) $\varepsilon = 1/2$, on a pour tout $j \geq 1$,

$$\mathbb{P}(\Delta\tau_j = +\infty | \{\tau_{j-1} < +\infty\}) \geq \frac{\delta_0}{2} \quad (3.6)$$

Preuve théorème principal

Soit $j^{(s)} := \inf\{j > 0, \Delta\tau_j = +\infty\}$.

$$\mathbb{P}(\tau_\infty > n) = \mathbb{P}\left(\sum_{j=1}^{+\infty} \Delta\tau_j \mathbf{1}_{\{j^{(s)} > j\}} > n\right).$$

Par Markov et Minkowski ($p \geq 1$) ou $|a + b|^p \leq |a|^p + |b|^p$ ($0 < p < 1$), on a

$$\mathbb{P}(\tau_\infty > n) \leq \frac{1}{n^p} \begin{cases} \sum_{j=1}^{+\infty} \mathbb{E}[|\Delta\tau_j|^p \mathbf{1}_{\{j^{(s)} > j\}}] & \text{si } p \in (0, 1) \\ \left(\sum_{j=1}^{+\infty} \mathbb{E}[|\Delta\tau_j|^p \mathbf{1}_{\{j^{(s)} > j\}}]\right)^{1/p} & \text{si } p \geq 1. \end{cases}$$

On peut montrer que pour tout $p \in (0, \frac{\tilde{\alpha}}{\theta\sqrt{I}})$,

$$\begin{aligned}\mathbb{E}[|\Delta\tau_j|^p \mathbf{1}_{\{j^{(s)} > j\}}] &\leq C_{\zeta} j^p \mathbb{P}(j^{(s)} > j - 1) \\ &\leq C_{\zeta} j^p \left(1 - \frac{\delta_0}{2}\right)^{j-1}\end{aligned}$$

On peut montrer que pour tout $\rho \in (0, \frac{\tilde{\alpha}}{\theta\sqrt{1}})$,

$$\begin{aligned}\mathbb{E}[|\Delta\tau_j|^\rho \mathbf{1}_{\{j^{(s)} > j\}}] &\leq C_\varsigma j^\rho \mathbb{P}(j^{(s)} > j - 1) \\ &\leq C_\varsigma j^\rho \left(1 - \frac{\delta_0}{2}\right)^{j-1}\end{aligned}$$

Conclusion : on choisit $1 < \varsigma < (1 - \frac{\delta_0}{2})^{-1/\rho}$ et on optimise la borne supérieure de ρ pour obtenir la vitesse $v(\beta, \rho)$ du théorème.

Merci de votre attention !

Étape 1

À un instant $(n+1)$, on veut construire $(\xi_{n+1}^1, \xi_{n+1}^2)$ pour que $X_{n+1}^1 = X_{n+1}^2$, i.e.

$$F\left(X_n^1, \xi_{n+1}^1 + \sum_{k=1}^{+\infty} a_k \xi_{n+1-k}^1\right) = F\left(X_n^2, \xi_{n+1}^2 + \sum_{k=1}^{+\infty} a_k \xi_{n+1-k}^2\right)$$

Lemme 1 (inspiré de version continue J.Fontbona & F.Panloup)

Soit $K > 0$ et $\mu := \mathcal{N}(0, I_d)$. Sous (\mathbf{H}_2) , il existe $\tilde{K} > 0$, tel que pour tout $(x, x', y, y') \in B(0, K)^4$, on peut construire (Z_1, Z_2) tel que

- (i) $\mathcal{L}(Z_1) = \mathcal{L}(Z_2) = \mu$,
- (ii) il existe $\delta_{\tilde{K}} > 0$ tel que

$$\mathbb{P}(F(x, Z_1 + y) = F(x', Z_2 + y')) \geq \delta_{\tilde{K}} > 0 \quad (3.7)$$

- (iii) il existe $M_K > 0$ tel que

$$\mathbb{P}(|Z_2 - Z_1| \leq M_K) = 1. \quad (3.8)$$

Étape 1

On veut coupler à l'instant $\tau_{j-1} + 1 \implies$ on applique le lemme 1 avec $(x, x', y, y') := \left(X_{\tau_{j-1}}^1, X_{\tau_{j-1}}^2, \sum_{k=1}^{+\infty} a_k \xi_{\tau_{j-1}+1-k}^1, \sum_{k=1}^{+\infty} a_k \xi_{\tau_{j-1}+1-k}^2 \right)$ et on pose

$$(\xi_{\tau_{j-1}+1}^1, \xi_{\tau_{j-1}+1}^2) = (\mathbb{1}_{\Omega_{K,\alpha,\tau_{j-1}}} Z_1 + \mathbb{1}_{\Omega_{K,\alpha,\tau_{j-1}}^c} \xi, \mathbb{1}_{\Omega_{K,\alpha,\tau_{j-1}}} Z_2 + \mathbb{1}_{\Omega_{K,\alpha,\tau_{j-1}}^c} \xi)$$

où $\xi \sim \mathcal{N}(0, 1)$ indépendante de (Z_1, Z_2) .

- $\mathbb{P}(\text{succès de l'étape 1} | \Omega_{K,\alpha,\tau_{j-1}}) \geq \delta_K > 0$
- $|\mathbf{g}_{\tau_{j-1}}| = |\xi_{\tau_{j-1}+1}^1 - \xi_{\tau_{j-1}+1}^2| \leq M_K \quad p.s$

On pose $\mathcal{A}_{j,\ell} := \{\text{échec étape 2 de la tentative } j \text{ après } \ell \text{ essais exactement}\}$

$$\begin{aligned} \mathbb{E}[|\Delta\tau_j|^p \mathbf{1}_{\{\Delta\tau_j < +\infty\}} \mid \{\tau_{j-1} < +\infty\}] \\ = \sum_{\ell=1}^{+\infty} \mathbb{E}[\mathbf{1}_{\mathcal{A}_{j,\ell}} |\Delta\tau_j|^p \mathbf{1}_{\{\Delta\tau_j < +\infty\}} \mid \{\tau_{j-1} < +\infty\}]. \end{aligned}$$

Sur l'événement $\mathcal{A}_{j,\ell}$,

$$\Delta\tau_j = c_2 2^{\ell+1} + \Delta t_3^{(j)} \leq C_S j 2^{(\theta \vee 1)\ell}.$$

De plus, d'après le lemme de couplage de l'étape 2,

$$\mathbb{P}(\mathcal{A}_{j,\ell} \mid \{\tau_{j-1} < +\infty\}) = \mathbb{P}(\mathcal{B}_{j,\ell}^c \mid \mathcal{B}_{j,\ell-1}) \leq 2^{-\tilde{\alpha}\ell}$$

donc

$$\mathbb{E}[|\Delta\tau_j|^p \mathbf{1}_{\{\Delta\tau_j < +\infty\}} \mid \{\tau_{j-1} < +\infty\}] \leq C_S j^p \iff p \in \left(0, \frac{\tilde{\alpha}}{\theta \vee 1}\right).$$